

Томского государственного педагогического университета. 2013. № 1 (129). С. 48-52.

9. Мартюшев Н.В. Параметры дендритной структуры медных сплавов // Известия высших учебных заведений. Физика. 2011. Т. 54. № 11-3. С. 229-232.

10. Пашков Е.Н., Зиякаев Г.Р., Кузнецов И.В. Дифференциальные уравнения процессов гидроимпульсного силового механизма бурильных машин // Приволжский научный вестник. 2013. № 4 (20). С. 32-36.

11. Пашков Е.Н., Саруев Л.А., Зиякаев Г.Р. Математическое моделирование гидроимпульсного механизма бурильных машин // Горный информационно-аналитический бюллетень (научно-технический журнал) -2011. -№ 5 -С. 26-31.

ОПРЕДЕЛЕНИЕ СКОРОСТЕЙ ОХЛАЖДЕНИЯ РАСПЛАВОВ В НАГРЕТЫХ ФОРМАХ

И.В. Семенков, аспирант ИФВТ ТПУ

Национальный исследовательский Томский политехнический университет,

634050, Россия, г. Томск, пр. Ленина, 30

E-mail: martjushev@tpu.ru

Введение

Значительное количество научных исследований в материаловедении посвящено проблемам формирования структуры и свойств материалов в процессе кристаллизации. Один из наиболее часто изучаемых параметров это скорость охлаждения. Скорость охлаждения достаточно просто изменить путем изменения материала литейной формы, нагрева или охлаждения литейной формы. При этом влияние, оказываемое на структуру и свойства этого фактора, зачастую оказывается весьма значительно. Например, для антифрикционных марок бронз (свинцовых, свинцово-оловянных) изменение скорости охлаждения в процессе кристаллизации приводит к изменению формы свинцовых включений, величины зерна и параметров дендритной ячейки матрицы, количества твердого эвтектоида. Все эти изменения сказываются на свойствах отливок [1]. Среди уже проведенных исследований имеется множество работ посвященных свойствам получаемым отливками в литейные формы из различных материалов, но при этом количественные значения скоростей охлаждения при этом, как правило, не приводятся.

Материал и методы исследования

Данная работа посвящена созданию и апробированию методики определения скоростей охлаждения в процессе кристаллизации свинцово-оловянных бронз. Из существующих способов влияния на скорость охлаждения было выбрано два – использование форм различной теплопроводности и нагрев литейной формы до различных температур [2-4]. Сочетание двух этих способов дает возможность получать скорости охлаждения отливки в широком интервале и вместе с тем не требует значительных затрат времени и средств на их реализацию.

С помощью прибора «Термограф», разработанного на кафедре ПМЭ Томского политехнического университета, строились зависимости температуры залитого расплава от времени. По построенным зависимостям в интервале от температуры

заливки до 800 °C, (включающем кристаллизацию медной матрицы расплава), определялась средняя скорость охлаждения.

Построение зависимостей температуры отливки от времени охлаждения проводилось по одинаковыми схемам, как для форм, нагретых до различных температур, так и для форм с нанесенными обмазками различных составов.

В качестве материала заливаляемого в литейную форму была выбрана бронза марки БрОС10-10. Эта бронза состоит из 10% свинца, 10% олова и 80% меди.

Для определения скоростей охлаждения расплава бронзу заливали в формы с разной теплопроводностью: массивный чугунный кокиль (отношение массы отливки к массе формы 1:8) и в графитовую форму. Формы нагревались до различных температур (20 °C, 200 °C, 400 °C, 600 °C, 800 °C) [5-7].

Хромель-алюмелевую термопару (диаметр проволок 0,3 мм) располагали на 1/2 глубины в соответствии с рекомендацией [8]. Отливка имела вид параллелепипеда с размерами 80x15x15 мм. Регистрация значений термоЭДС термопары велась с помощью высокоскоростного прибора «Термограф» [9], рис. 2. Прибор способен регистрировать до 40 значений термоЭДС за 1 с и вносить в память 1600 показаний, за одно исследование. Объем памяти прибора позволяет производить до 16 исследований без передачи данных на компьютер.

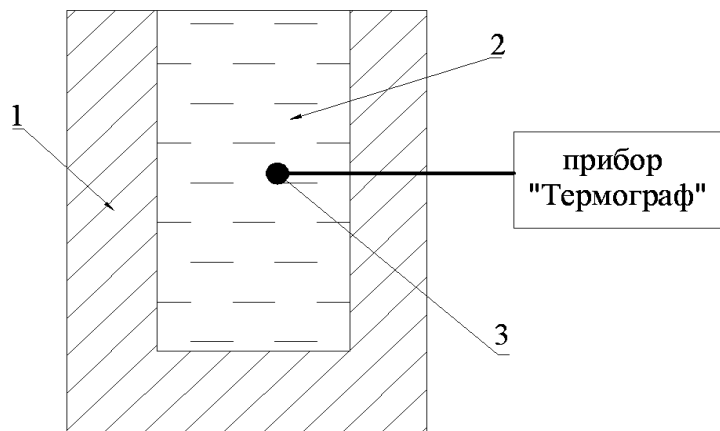


Рис.1. Схема использования прибора «Термограф» в экспериментальных работах: 1 – литейная форма; 2 - расплав; 3 - хромель-алюмелевая термопара.

Далее обработка результатов и построение графических зависимостей велись при помощи компьютерной программы «ТермоХр» [10].

Результаты исследования и их обсуждение

В ходе проведенных экспериментальных работ были построены по описанной выше методике кривые охлаждения для антифрикционной бронзы марки БрС10. Из построенных кривых охлаждения для чугунного кокиля на рис. 2 видно, что на начальном этапе охлаждения (первые 5-6с от момента заливки расплава в форму) для всех кривых температура резко падает до определенной температуры (своя для каждой кривой). При достижении этой температуры наступает тепловой баланс между залитым расплавом и нагретой литейной формой, после чего идет постепенное охлаждение формы и заготовки на воздухе. Кривые охлаждения в это время (10...40 с от старта отсчета) практически параллельны.

Зависимость температуры залитого в форму расплава от времени, прошедшего с момента заливки для графитовой литейной формы аналогична зависимости на

рис. 2. Так же наиболее интенсивное охлаждение отливки идет в первые 4...5 с от момента заливки [11]. После этого идет постепенное охлаждение формы и заготовки. Вместе с этим наблюдаются отличия в скорости падения температуры в начальный момент охлаждения. Кроме того, значение температуры, при которой начинается плавное охлаждение отливки для графитовой формы выше, чем для чугунной (для одинаковых температур нагрева литьейной формы).

Таблица 1. Скорости охлаждения бронзы БрОС10-10 в интервале температур 1050...800 °C, в зависимости от температуры нагрева формы.

Температура нагрева, °C	Скорость охлаждения для графитовой/чугунной форм, °C/с
20	158/180
200	137/165
400	43/55
600	25/40
800	10/15

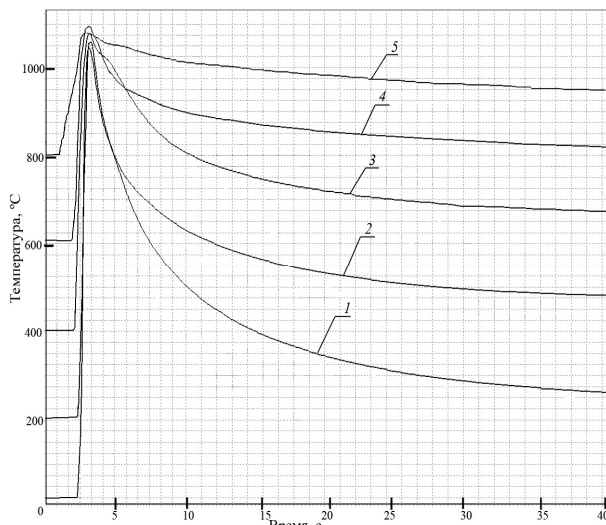


Рис. 2. Кривые охлаждения бронзы БрС10 при заливке в чугунную форму, нагретую до температуры: 1 – 20 °C; 2 – 200 °C; 3 – 400 °C; 4 – 600 °C; 5 – 800 °C.

По построенным кривым на рис. 2 были измерены скорости охлаждения, их значения представлены в таблице 1.

Измерение скоростей проводилось в интервале температур 1050...800 °C, включающем диапазон кристаллизации расплава. Анализ значений, приведенных в таблице 1, показывает, что скорость охлаждения литьевой формы комнатной температуры и нагретой до 800 °C отличается более чем в 10 раз. Весь используемый диапазон скоростей охлаждения расположен в пределах от 10 до 180 °C/с. Это дает возможность наиболее полно оценить влияние скорости охлаждения расплава в момент кристаллизации исследуемых бронз на микроструктуру и свойства.

Результаты исследования представленные в настоящей работе выполнены при поддержке гранты Президента РФ МК-6661.2013.8.

Заключение

Таким образом, скорость охлаждения при заливке расплава бронзы в чугунную литейную форму комнатной температуры для наиболее часто промышленно используемых отношений массы отливки к массе формы (1:5, 1:10) составляет ~150 °C/c. Скорости охлаждения при изготовлении отливки в чугунной форме и в графитовой форме отличаются на величину ~30...40 %. Показано, что предварительный подогрев литейной формы позволяет значительно снизить скорость охлаждения отливки и увеличить время нахождения расплава в жидком состоянии. Из кривых охлаждения видно, что предварительный нагрев литейной формы до высоких температур 500...800 °C позволяет выявить площадку кристаллизации и тем самым определить температуру кристаллизации материала.

Список литературы:

1. Дубовик В.А., Пашков Е.Н. Нестационарное движение неуравновешенного ротора с жидкостным автобалансирующим устройством при скачкообразном изменении угловой скорости // Известия Томского политехнического университета. 2005. Т. 308. № 5. С. 123-126.
2. Мартюшев Н.В. Влияние условий кристаллизации на структуру и свойства бронз, содержащих свинец // Металлургия машиностроения. 2010. № 4. С. 32-36.
3. Саруев Л.А., Зиякаев Г.Р., Мартюшев Н.В. Математическое моделирование гидроимпульсного механизма бурильных машин // В мире научных открытий. 2010. № 6-3. С. 61-65.
4. Yakovlev A.N., Kostikov K.S., Martyushev N.V., Shepotenko N.A., Falkovich Y.V. Institute of high technology physics experience in masters of engineering and doctoral training: the platform for cooperation with russian and international companies in the domain of material science and physics of high energy systems // Известия высших учебных заведений. Физика. 2012. Т. 55. № 11-3. С. 256.
5. Дубовик В.А., Пашков Е.Н. Стационарное вращение неуравновешенного ротора с жидкостным автобалансирующим устройством при действии сил внешнего трения // Известия Томского политехнического университета. 2006. Т. 309. № 4. С. 145-146.
6. Мартюшев Н.В. Влияние условий кристаллизации на свойства отливок из бронзы брос 10-10 // Литейное производство. 2011. № 6. С. 11-13.
7. Пашков Е.Н., Зиякаев Г.Р. Уравнения движения ротора с многокамерным жидкостным автобалансирующим устройством // Известия высших учебных заведений. Физика. 2012. Т. 55. № 5-2. С. 80-83.
8. Мартюшев Н.В., Синогина Е.С., Шереметьева У.М. Система мотивации студентов высших учебных заведений к выполнению научной работы // Вестник Томского государственного педагогического университета. 2013. № 1 (129). С. 48-52.
9. Мартюшев Н.В. Параметры дендритной структуры медных сплавов // Известия высших учебных заведений. Физика. 2011. Т. 54. № 11-3. С. 229-232.
10. Пашков Е.Н., Зиякаев Г.Р., Кузнецов И.В. Дифференциальные уравнения процессов гидроимпульсного силового механизма бурильных машин // Приволжский научный вестник. 2013. № 4 (20). С. 32-36.
11. Пашков Е.Н., Саруев Л.А., Зиякаев Г.Р. Математическое моделирование гидроимпульсного механизма бурильных машин // Горный информационно-аналитический бюллетень (научно-технический журнал) -2011. -№ 5 -С. 26-31.